

969

УДК 546.03.3—19'654'74'11

ВЕРБЕНКИЙ В. П., НИЛЬЧЕНКО В. А., КАНБАДОВ С. С.
СЕМЕНЕНКО Е. П.ВЗАИМОДЕЙСТВИЕ LaNi_3 С ВОДОРОДОМ
ПРИ НИЗКИХ ТЕМПЕРАТУРАХ

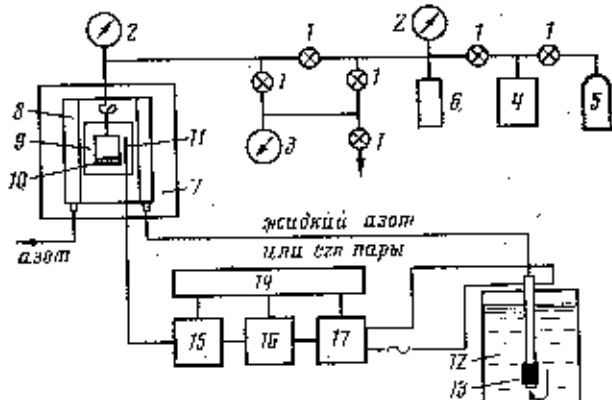
Изучено взаимодействие LaNi_3 с водородом в интервале температур $-60\text{--}140^\circ\text{C}$. Построены кинетические кривые зависимости степени прекращения от времени при этих температурах. Обнаружено, что при температуре ниже -150°C взаимодействие водорода с LaNi_3 не протекает. Вычислено значение наблюдаемой энергии активации в интервале температур $-125\text{--}140^\circ\text{C}$, которое составляет $15,1 \text{ Дж/моль H}_2$.

Одно из наиболее интересных направлений в химии гидридов нетитановых соединений (ИМС) связано с применением низких температур для изучения кинетики и особенностей взаимодействия водорода с металлической матрицей. Для многих ИМС скорость взаимодействия водородом после предварительной активации при $20\text{--}25^\circ\text{C}$ или более высоких температурах настолько велика, что получение корректных результатов, которые могли бы быть использованы для изучения механизма гидрирования, становится невозможным. Применение низких температур открывает также возможность решения и прикладных задач, связанных с созданием систем, аккумулирующих значительные количества водорода. Так, например, при взаимодействии в системе $\text{TiCr}_2\text{--H}_2$ при низких температурах образуются две гидридные фазы, инициантное нововведение между которыми наблюдается при температурах ниже -70°C давлении водорода до 100 атм. Максимальная сорбционная ѹмкость в условиях $3,6\text{--}3,7$ атомов водорода на формульную единицу ИМС [1]. CaNi_3 при понижении температуры от 20 до -50°C увеличивает сорбционную способность от 5 до 7 атомов водорода на формульную единицу ИМС [3].

Исследование взаимодействия LaNi_3 с водородом посвящено большее количество работ, однако этот процесс при низких температурах до сих пор изучен недостаточно. В работе [4] было показано, что при -40°C давлении 10–50 атм LaNi_3 поглощает около 8 атомов водорода на формульную единицу. Анализ изотерм десорбции в системе $\text{LaNi}_3\text{--H}_2$, проведенных в более поздних работах, показывает, что при -78°C в 10⁻³ отномощение H/LaNi_3 составляет примерно 7,5 [5]. Некоторые противоречия имеются и в результатах по определению «температурного порога» взаимодействия LaNi_3 с водородом. Так, в работе [6] сообщается о том, что при -196°C взаимодействие LaNi_3 с водородом протекает со скоростью, сравнимой со скоростью гидрирования при комнатной температуре. В работе [7] было показано, что взаимодействие водорода с LaNi_3 и некоторыми другими ИМС, содержащими РЭМ, прекращается при температурах не выше -133°C . Дополнительного обсуждения требуют и результаты исследования кинетики гидрирования при низких температурах. По данным работы [8, 9], при температурах выше -78°C лимитирующей стадией гидрирования LaNi_3 является процесс массопереноса водорода в микротрещинах частиц образца, либо в порах между ними, а в работе [10] делается вывод о том, что лимитирующей стадией в диапазоне от 0 до 90°C служит процесс зародышеобразования новой (β)-гидридной фазы в α -растворе водорода в LaNi_3 . В отличие от этих данных в работе [7] в качестве лимитирующей

ирующей стадии при $-93 \div -133^\circ\text{C}$ рассматривается процесс диффузии гомов водорода от поверхности в глубь частиц образца. В работе [11] указывается, что реакция взаимодействия активированного LaNi_5 с водородом при комнатной температуре подчиняется уравнению реакции первого порядка, что может быть интерпретировано в предположении образования ядер новой гидридной фазы с равной вероятностью во всем объеме образца без дальнейшего их роста.

По литературным данным, энергия активации для реакции поглощения водорода LaNi_5 равняется $E_{\text{акт}} = 32 \text{ кДж/моль H}_2$ [10], в работе [12]



1. Блок-схема установки для исследования гидрирования ИМС при низких температурах. 1 – вентили; 2 – манометры; 3 – вакуумметр; 4 – ёмкость с LaNi_5 ; 5 – баллон с водородом; 6 – буферный автоклав; 7 – теплоизоляция; 8 – термостат; 9 – рабочий автоклав; 10 – образец ИМС; 11 – платиновое термосопротивление; 12 – пар с жидким азотом; 13 – нагревательный элемент; 14 – блок питания; 15 – измерительный мост; 16 – электронная схема; 17 – регулирующий элемент

водится значение энергии активации, полученное методом термографии и равное $E_{\text{акт}} = 13,4 \text{ кДж/моль H}_2$. Близкое к этому значение энергии активации реакции поглощения водорода – $16,7 \text{ кДж/моль H}_2$ – получено в работе [13] в интервале температур $-30 \div -78^\circ\text{C}$ и давлений $50 \div 750 \text{ мм рт. ст.}$

ЭКСПЕРИМЕНТАЛЬНАЯ ЧАСТЬ И ОБСУЖДЕНИЕ РЕЗУЛЬТАТОВ

Исследование взаимодействия LaNi_5 с водородом при низких температурах проводили на установке, схема которой представлена на рис. 1. Рабочий автоклав с образцом LaNi_5 , весом 3–4 г помещали в термостатирующую ячейку 6, охлаждение которой проводилось либо жидким азотом, либо его парами по спиралевидному каналу со встречным потоком охлаждающего агента.

Электронная схема терморегулятора позволяет поддерживать постоянную температуру $\pm 0,5^\circ\text{C}$ при $-40 \div -80$ и $-130 \div -180^\circ\text{C}$ и $\pm 2^\circ\text{C}$ при -40 и $-80 \div -130^\circ\text{C}$. При определении сорбционных характеристик использовали формулу для расчета количества грамми-атомов водорода, содержащегося в объеме V при давлении P и температуре T , которая выдается следующим образом:

$$n_{\text{H}_2} = \frac{2PV}{RT + B(T) \cdot P + C(T) \cdot P^2}$$

коэффициенты $B(T)$, $C(T)$, зависящие от температуры, считывали по алгоритму, приведенному в работе [14].

Скорость взаимодействия LaNi_5 с водородом определяли по изменению давления водорода в буферном автоклаве. Постоянное давление в рабочем автоклаве ($1 \pm 0,1$ атм) поддерживали с помощью вентиля точкой регулировки. В исследованиях использовали водород, полученный десорбией гидридной фазы на основе LaNi_5 .

Для определения максимальной сорбционной емкости LaNi_5 применяли следующую методику. Активированный образец гидрировался при комнатной температуре под давлением 70–80 атм до состава LaNi_5H_x , а затем автоклав с ним постепенно охлаждался до -165°C . В интервале температур -70 – -165°C с шагом 20°C образец выдерживали в течение нескольких часов до установления равновесия.

По изменению давления, обусловленного снижением температуры в системе и дополнительным поглощением образцом водорода, определяли отношение H/LaNi_5 при заданной температуре.

Как видно из рис. 2, отношение H/LaNi_5 при 60–70 атм увеличивается от 7,5 при -78°C до величины $8,0 \pm 0,2$ при -150°C .

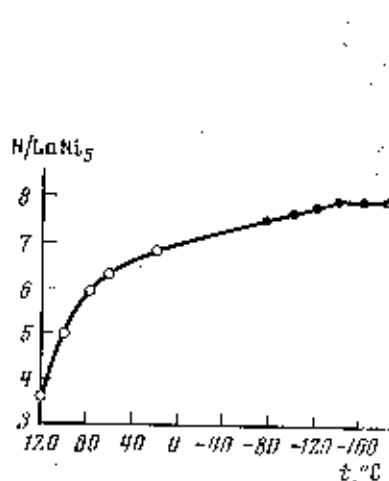


Рис. 2

Рис. 2. Зависимость величины H/LaNi_5 для давления водорода 70 атм от температуры

Рис. 3. Зависимость степени превращения α от времени при давлении водорода $P=1$ атм при различных температурах ($^\circ\text{C}$): 1 – -60 ; 2 – -78 ; 3 – -100 ; 4 – -130 ; 5 – -140 ; 6 – -140

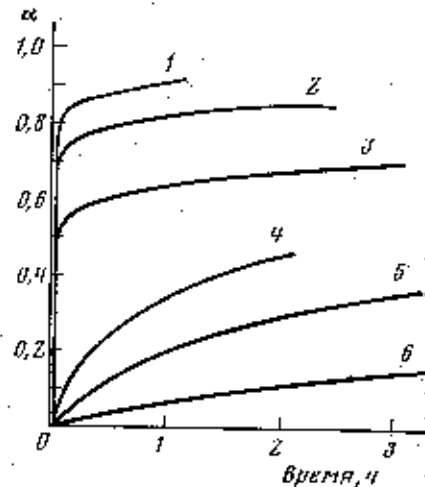


Рис. 3

По нашим данным, в отличие от результатов, полученных в работе [1], взаимодействие LaNi_5 с водородом полностью прекращается лишь при температуре ниже -150°C . Этот вывод может быть сделан на том основании, что при понижении температуры от -150 до -165°C изменение давления водорода в системе обусловлено только температурной зависимостью. Аналогичный эффект обнаружен и при гидрировании активированного LaNi_5 под давлением 50–70 атм. Прекращение взаимодействия гидридной фазы LaNi_5 с водородом при никаких температурах может быть объяснено как особенностью физико-химического состояния системы (например подавление стадии диссоциации молекул водорода, сорбированных на металлической матрице), так и колянием чистоты применяемых компонентов. Эксперимент показал, что кратковременный контакт с воздухом при низких температурах активированного LaNi_5 , т. е. практически α -фазы с очень малым содержанием водорода, приводит к сильному отрыванию его поверхности. Поглощение водорода при нагревании такого образца под давлением водорода 60–70 атм от -140°C начинается лишь при температуре $\geq -40^\circ\text{C}$.

Равновесное давление водорода при -165°C , вычисленное по формуле $\lg P_{\text{равн}} = 5,62 - 1570/T$, приведенной в работе [4], составляет примерно $1 \cdot 10^{-6}$ мм рт. ст. По-видимому, экстраполяция зависимости P от T , полученной в интервале температур 10 – 120°C , на область более низких температур нравомочно, поскольку вакуумирование автоклава с гидрированной фазой LaNi_5 при 10^{-2} мм рт. ст., охлажденного до -165°C в течение четырех часов, показало, что десорбция водорода из твердой фазы в данных условиях не происходит.

Исследование кинетики взаимодействия LaNi₅ с водородом проводили на образце, подвергнутом двадцати циклам «сорбция — десорбция» водорода при комнатной температуре. На рис. 3 приведена зависимость степени превращения от времени при различных температурах и постоянном давлении водорода 1 атм. Как видно из рис. 3, скорость взаимодействия активированного LaNi₅ с водородом быстро убывает с понижением температуры. Это обстоятельство позволяет проводить кинетические исследования процесса на граммовых количествах образца, пренебрегая его саморазогревом за счет тепла реакции.

Полученные кинетические кривые зависимости степени превращения от времени не являются аффинными, т. е. не переходят друг в друга при изменении масштаба времени, в связи с чем энергия активации реакции может быть вычислена из зависимости t_α от $1/T$, где t_α — время достижения степени превращения α при температуре T ; поэтому для анализа кинетических данных было выбрано обобщенное топохимическое уравнение Ерофеева — Аврами:

$$\alpha = 1 - \exp(-kt^n).$$

Расчет проводили для температур $-125, -130, -140^\circ\text{C}$ и интервала степеней превращения $\alpha = 0,05 - 0,45$.

Оценка значения энергии активации реакции взаимодействия с водородом из зависимости $\lg K (K = nk^{1/n})$ от обратной температуры показала, что наблюдаемая энергия активации при этих условиях составляет 4 кДж/моль H₂.

Литература

- Johnson J. R., Reilly J. J. Inorg. Chem., 1978, v. 17, N 11, p. 3403.
Johnson J. R. J. Less-Common Met., 1980, v. 73, p. 345.
Shinar J., Shaltiel D., Davidov D., Grayevsky A. J. Less-Common Met., 1978, v. 60, N 2, p. 209.
Семененко К. Н., Малышев В. П., Петрова Л. А., Бурнашева В. В., Сарынин В. К. Ж. неорган. материалы, 1977, т. 13, № 11, с. 2009.
Tanaka S., Clewley J. D., Flanagan Ted B. J. Catal., 1978, v. 51, N 1, p. 9.
Pesterreicher H., Clinton J., Bittner H. Mat. Res. Bull., 1976, v. 11, p. 1241.
Gaultier D. M., Wallace W. E. J. Less-Common Met., 1978, v. 61, p. 261.
Tanaka S., Clewley J. D., Flanagan Ted B. J. Less-Common Met., 1977, v. 56, p. 137.
Flanagan Ted B. Proc. Int. Symp., Geilo, 1978, p. 135.
Boser O. J. Less-Common Met., 1976, v. 46, p. 91.
Belkhir L., Joly E., Gerard N. Hydrogen Energy Progr. Proc. 3-rd World Hydrogen Energy Conf., Tokyo, 1980, v. 4, p. 2145.
Sander C. M., Horak R. M. Thermochim. Acta, 1979, v. 31, N 1, p. 47.
Андреев Б. М., Магомедбеков Э. П., Шитиков В. В. Ж. физ. химии, 1980, т. 54, № 5, с. 1195.
McCarty R. D., Hord J., Roder H. M. Selected properties of hydrogen (Engineering design data), U. S. Dep. Commer., Natl. Bur. Stand., Monograph 168, 1981, p. 4-23.

ковский государственный университет
М. В. Ломоносова

Поступила в редакцию
13.VI.1983